

Al-C-O

8.T.7. (Al - окислительный)
 Al_2O_3 , Al_3O_4C)

V 4049

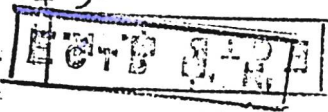
1956

Al₄O₄C, Al₂O₃C / Tm/

Foster L.M., Long G., Hunter M.S.

J. Amer. Ceram. Soc., 1956, 39, N 1, 1-11

Reactions between aluminum oxide
and carbon. The Al₂O₃- Al₄C₃ phase diagram



PX., 1956, N 19, 62232

Be

F

V 6767

1957

Al₂C₂O₄⁺ (K)

Баско А.К., Дубовенко Л.И.

Н. Моргат. химии,

1957, 2, № 1994-1205

дк

Priex, 1958, № 17322

$\text{Al}_4\text{O}_4\text{C}$

Al_2OC

1959

Свищевико Н.Е.,
Радченко И.В., Андреева С.В.

ДАН СССР, 1959, т. 124, №1, 155-158

[Образование карбонитидов Al]

[Определение их физ., оптич., химич. и месографических
свойств с-ва]

AlC

Al -

~~-оксидкарбид~~

AlO_xC_y

Филоненко Н. Зигр.

1959.

Докт. АН СССР, 1959, 124,

№ 1, 155- 158.

Без ёкейкада жаңа таралылыш.

X-59-18-63631

Al_2CO (synthesized CIP-PG) XV-3719¹⁹⁶¹

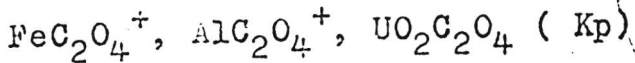
Anna E.L., Jeffrey C. A.

Study of the wurtzite-type
compounds. V. Structure of aluminum
oxycarbide, Al_2CO ; a short range
wurtzite-type superstructure

PX Jun., 1962, v15219

V 4048

1969



Талипов Ш.Т., Круковская Е.Л.,

Расулева Ш.

Узб.хим.ж., 1961, № 2, 18-24

Растворимость оксалата церия //
в растворах нитратов железа //П//, алюминия
и уранила при 25°

РХ., 1962, 65483

Ja

orig

1962

Al-O-C system in physical-chemical valuation. Ketil Motzfeldt. *Tek. Ukeblad* 109, 1137-42(1962). Examn. of the literature on the Al-O-C system suggests that Brunner (*CA* 26, 3720) studied the reaction $2\text{Al}_2\text{O}_{(s)} + 3\text{C}_{(s)} = \text{Al}_4\text{O}_4\text{C}_{(s)} + 2\text{CO}_{(g)}$. Effects of partial pressures of CO, Al₂O, and Al over the 3 phases Al₂O₃, Al₄O₄C, and C would be very difficult to det. If one assumed that the gases consisted mainly of CO, as B's measurements indicated, it should be possible to measure CO pressure with a single statistical method. Expts. in heat elements consisting of thoroughly insulated split graphite tubes in a vacuum oven indicated the presence of appreciable amts. of Al₂O_(g) and Al_(g) during all phases of the expts. With diffusion and convection these components remained apart from the reactions and condensed in the colder parts of the oven (through the exptl. ranges of about 1600-1700° and 10 to 40 mm. Hg_{CO}). Linear extrapolation of the trend of observed values of temp. vs. pressure indicated a convergence toward 2000° or more with the plot of values obtained from B's. work. George H. Chase

c.f. 1963-58-9

8446

1963

24 Б503. Исследование системы алюминий — кислород — углерод. Cox J. H., Pidgeon L. M. An investigation of the aluminum — oxygen — carbon system. «Canad. J. Chem.», 1963, 41, № 3, 671—683 (англ.)

С помощью дифференциального термич., хим. и рентгенографич. методов анализа, а также измерения давления в зоне р-ции исследовано карботермич. восстановление Al_2O_3 при пониженном давлении (атмосфера Ar) при т-рах ~ 1400 — 1900° . Нагрев сбрикетированных смесей Al_2O_3 и C с отношением их 2:3,2:6,2:9 проведён в печи сопротивления с графитовым нагревателем, в тиглях из графита и Al_2O_3 . Установлено, что восстановление Al_2O_3 углеродом протекает до Al_4C_3 через промежуточные оксикарбиды: $\text{Al}_4\text{O}_4\text{C}$ и Al_2OC . Образование оксикарбидов протекает в твердой фазе, причём процесс образования оксикарбидов предпочтительнее, чем образование субоксидов. Al_2OC образуется в незначительном кол-ве благодаря близости размеров молекул Al_2O_3 и Al_2OC . Основная масса Al_2O_3 переходит в $\text{Al}_4\text{O}_4\text{C}$. При высоких т-рах возможна р-ция $\text{Al}_4\text{O}_4\text{C} + \text{Al}_4\text{C}_3 = 8\text{Al} + 4\text{CO}$. Рассчитаны энталпии ΔH_{25}° и ΔF_{25}° образования Al_2OC , $\text{Al}_4\text{O}_4\text{C}$ и Al_4C_3 , равные соответственно $-171,4$ и $-158,9$; $-543,1$ и $-511,7$; $-35,9$ и $-28,4$ ккал.

Л. Шведов

4 С3

— окси-
карбиды

Х. 1963. 24

Бер-7118-1

~~V4059~~; 7118-V -^{v.0.7} SP/K 1963
Al₂OC, Al₄O₄C, Al₄C₃ (_δHf, _δFf)

Cox J.H., Pidgeon L.M.

Canad.J.Chem., 1963, 41, N 3, 671-683

An investigation of the aluminum-oxygen-carbon system

WPK, W

orig

PX., 1963, 246503

V 4039, V-7118

1963

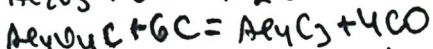
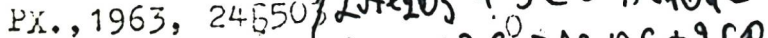
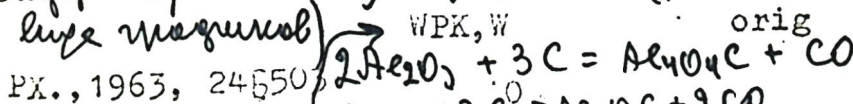
 $\text{Al}_2\text{O}\text{C}$, $\text{Al}_4\text{O}_4\text{C}$, Al_4C_3 ($\downarrow \text{Hf}$, $\downarrow \text{Ff}$)

Cox J.H., Pidgeon L.M.

Canad.J.Chem., 1963, 41, N 3, 671-683

An investigation of the aluminum-oxygen-carbon system

Дипр. Терм. анализ. Испытания Рес (самые новые)
 (без погрешностей)



XXI $\frac{1}{2}T$
 $\frac{2}{3}T$ систему Сп $\text{Al}_2\text{O}\text{C}$ и $\text{Al}_4\text{O}_4\text{C}$ привели

Равновесия вида $\text{Al}_2\text{O}\text{C} \leftrightarrow \text{Al}_4\text{O}_4\text{C}$ и $\text{Al}_2\text{O}\text{C} \leftrightarrow \text{Al}_4\text{C}_3$

	ΔH_{298}° (ккал)	ΔF_{298}° (ккал)	\pm
Al_2O_C	-121,4	-158,9	± 10
$\text{Al}_4\text{O}_4\text{C}$	-543,1	-511,2	± 8
Al_4C_3	-35,9 <small>150,2</small> <small>ккал</small>	-28,4	± 8

Выводы из данных K_p (затемнение
изображ.) . Температуры $1450 - 1875^{\circ}\text{C}$

$\text{Al}_4\text{O}_5\text{C}$ (μ)

Al_2OC (κ)

Cox J.H., Pidgeon L.M.

1963

Canad. J. Chem., 1963, 41, N3;
p. 671 - 683

[Коэффициент из радиовещания 219]

$\text{Al}_4\text{O}_5\text{C}$: $\Delta f_g(298) = -2140 \text{ кДж/моль}$

$S(298) = 104,6 \text{ Дж} \cdot \text{К}^{-1} \cdot \text{моль}^{-1}$

Берущий из
статьи Карнова
(1986г)

$$G_P = 915,2 + 20,2 \cdot 10^3 T + ?$$

$$+ 64 \cdot 10^5 T^{-2}$$

1963

17 Б180. Структура тетраоксикарбида алюминия.
 Jeffrey G. A., Slaughter M. The structure of
 aluminium tetroxycarbide. «Acta crystallogr.», 1963, 16,
 № 3, 177—184 (англ.)

Рентгенографически (метод Вейссенберга, $\lambda\text{Cu}-K_{\alpha}$)
 определена структура $\text{Al}_4\text{O}_4\text{C}$, образующегося при
 температуре $\sim 1800^{\circ}$ в системе окислов и карбидов Al. Параметры ромбич. решетки: $a = 5,76$, $b = 8,537$, $c = 9,121$, ϱ (эксп.) 2,70, ϱ (выч.) 2,724, $Z = 4$, ф. гр. $Cmc2$. Положение атомов в ячейке найдено из трехмерных синтезов Паттерсона и Фурье и уточнено до $R(hkl) = 0,11$ с помощью дифференциальных синтезов электронной плотности при использовании индивидуальных изотропных факторов B . Координаты атомов x, y, z и факторы B : $\text{Al}_{(1)} 0; 0,0600; 0,2093; 1,60$; $\text{Al}_{(2)} 0; 0,3983; 0,2903; 1,55$; $\text{Al}_{(3)} 0,2288; 0,3374; 0; 1,65$; $\text{O}_{(1)} 0; 0,1937; 0,0557; 1,55$; $\text{O}_{(2)} 0; 0,5559; 0,4070; 1,55$; $\text{O}_{(3)} 0,2564; 0,4340; 0,1786; 1,60$; $\text{C} 0; 0,1965; 0,3853; 1,60$. Структура построена из $\text{Al}(\text{O}_3\text{C})$ -тетраэдров, образующих трехмерный каркас, в котором легко выделяются два типа цепочек, тянувшихся вдоль оси a . В цепочках первого типа тетраэдры соединяются между собой обычным способом по

 $\text{Al}_4\text{O}_4\text{C}$

Х·1963·17

вершинам. Во вторых цепочках имеет место чередование типа связи: пары соединенных по ребру тетраэдров контактируют друг с другом через атом С, являющийся вершиной двух тетраэдров, принадлежащих соседним парам. Соединение Al-тетраэдров по ребрам для подобного типа соединений найдено впервые. Координация атомов С близка к тетраэдрической. Каждый атом О в структуре связан с тремя атомами Al, что обесцвечивает связь отдельных цепочек в трехмерный каркас. Средние межатомные расстояния Al—O (1,82) и Al—C (1,94 Å) несколько меньше суммы ковалентных радиусов (1,92 и 2,03 Å соответственно). Расстояния O—O изменяются в пределах 2,76—2,95 Å и лишь общее ребро двух Al-тетраэдров укорочено до 2,63 Å. Соответствующее ему расстояние Al—Al 2,63 Å. Валентные углы в тетраэдрах, связанных вершинами, колеблются от 102° до 119°. В тетраэдрах второго сорта эти пределы шире: от 86° до 128°. Приведены значения I и d рентгенограммы порошка.

А. Вороиков

Al₂OC

V-5228

1964

Al₂OC

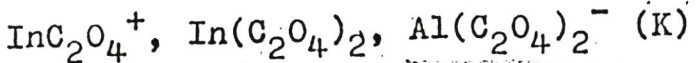
The reduction of aluminum oxide by carbon. G. N. Kozhevnikov. *Tr. Inst. Met., Gos. Kom. po Chern. i Tsvetn. Met. pri Gosplane SSSR* No. 10, 50-8(1964)(Russ). A thermodynamic analysis of Al-O-C was made. The bulk of the data were collected from the literature but for the less common compds. as Al₃O₄, Al₄O₄C, and Al₂OC and for some Al suboxides the $\Delta F_{\text{form}} = f(T)$ relations were derived for the 1st time. The relations $\Delta F = f(T)$ are presented for 13 possible reactions in the system. The kinetics and mechanisms of the processes taking place in the system are reviewed. 45 references. M. Shelef

C.A. 1966. 64. 8

104746

V 5447

1966



Hasegawa Y., Sekine T.,
Bull, Chem. Soc., Jap. 1966, 39 (12), 2776-8

Complex fomation of Th (III) with oxalate ion
in MNa perchlorate media.

CA, 1967, 66, N 18, 80060v

Ja.

F

ArCO₃, Ar(C₂O₄)₂, Ar(CO₄)₃(K_P) 1968

V6267

Bottari E. Caviglino L.

Gazz. chim. ital., 1968, 98, N8-9, 1004-1013(4501)

Ютингшуньинское изучение оксидации
комплексов трехвалентного алюминия

РИИ Курм, 1969

Z 856

○

Ду (97)

1968

Al_2O_3 - C

Zlyutin V. P. et al.

Yzv. DILZ, Chern. Met.,
11 (7), 5-10.

High temperature in-
teraction of Al_2O_3 with C



1968

V-6153

 $\text{Al}(\text{C}_2\text{O}_4)_2$ $\text{Al}(\text{C}_2\text{O}_4)_3^-$ K

22549n Composition and stability of salicylate complexes of iron(III) and oxalate complexes of aluminum. Zolotukhin, V. K. *Zh. Neorg. Khim.* 1968, 13(3), 702-5 (Russ). Potentiometric pH-titrns. were used to study the formation of Fe(III) salicylate complexes and Al oxalate complexes. Hydroxysalicylate complexes are formed at various pH of the Fe-salicylate solns. as a function of the amt. of excess salicylate ions. Stability consts. of di- and trisalicylate complexes of Fe were detd. by the Bjerrum method. If the pH of the Al-oxalate soln. was 7.8-9.1, Al-hydroxyoxalate complexes were formed. Al forms $\text{Al}(\text{C}_2\text{O}_4)_2^-$ and $\text{Al}(\text{C}_2\text{O}_4)_3^-$ with instability consts. of 10^{-13} and 1.6×10^{-17} , resp.

M. Z. Hassan

C.A. 1968-69-6

Al₄O₄C

1920

Al₂OC

Tm

(25661g) System aluminum trioxide-aluminum tricarbide.
Yanagida, Hiroaki (Fac. Eng., Univ. Tokyo, Tokyo, Japan).
Yogyo Kyōkai Shi 1970, 78(903), 388-9 (Eng). The phase dia-
gram Al₂O₃-Al₄C₃ was revised since Al₄O₄C and Al₂OC must be
metastable phases. The eutectic of the system Al₂O₃-Al₄C₃
occurs around 2012°, while the eutectic reported in the litera-
ture is at 1840° and of the transient type observed on reducing
Al₂O₃ to Al₄C₃ by C. The redn. path is not on the line Al₂O₃-
Al₄C₃ in the Al-O-C ternary system.

RCQB

C.A

1971-04-6

1973

Al-O-C

108612w Thermodynamics of aluminum-oxygen and aluminum-oxygen-carbon systems. Emlin, B. I.; Khitrik, S. I.; Rostovtsev, S. T.; Gasik, M. I.; Kilessko, S. N.; Man'ko, V. A. (Dnepropetr. Metall. Inst., Dnepropetrovsk, USSR). *Izv. Vyssh. Ucheb. Zaved., Tsvet. Met.* 1973, 16(2), 80-6 (Russ).

The equil. diagram of the system Al-O-C exhibits 3 triple points. The point at 2240°K and $\Delta G^\circ = 6270$ cal corresponds to the simultaneous equil. of the reactions $2\text{Al}_2\text{O}(\text{g}) + 2\text{C} = 4\text{Al}(\text{l}) + 2\text{CO}$ and $\text{Al}_2\text{O}_3(\text{l}) + 2\text{C} = \text{Al}_2\text{O}(\text{g}) + 2\text{CO}$. The point at 2480°K and $\Delta G^\circ = -25,400$ cal corresponds to the simultaneous equil. of the reactions $\text{Al}_2\text{O}_3(\text{l}) + 2\text{C} = \text{Al}_2\text{O}(\text{s}) + 2\text{CO}$ and $2\text{Al}_2\text{O}(\text{g}) + 5\text{C} = \text{Al}_4\text{C}_3(\text{s}) + 2\text{CO}$. The redn. of Al_2O_3 to Al_4C_3 occurs at 2195°K. The point at 2716.5°K and $\Delta G^\circ = -215.6$ kcal dets. the lower temp. limit of the existence of AlO . The redn. of Al_2O with C to Al metal occurs at >2640°K. At >2716.5°K, AlO is formed.

V. Vesely

*page
group*

C.A. 1973, 79N18

Al₄O₄C

D 15 Б927. Измерения свободной энергии образования оксикарбида алюминия. Опо Katsutoshi, Mogi-¹⁹⁷³, уама Joichiro. «Нихон киндзоку гаккайси, J. Jap. Inst. Metals», 1973, 37, № 4, 390—393 (япон.; рез. англ.)

Из измерений давл. CO над трехфазной областью Al_2O_3 — $\text{Al}_4\text{O}_4\text{C}$ —C в интервале т-р 1400—1600° определена свободная энергия образования промежут. окси-
карбида $\text{Al}_4\text{O}_4\text{C}$ в системе Al_2O_3 — Al_4C_4 . Ее т-рная за-
висимость описана ур-ием ΔG° (кал/моль) = —684 032
—7,5 lg T + 199,64T. Отмечено, что в чистом состоянии
оксикарбид алюминия не удалось получить из-за лету-
чести Al и субокислов алюминия в процессе вы-
сокот-рной р-ции Al_2O_3 с C. Как в р-ции Al_2O_3 с C, так
и в р-ции Al и Al_2O_3 с C при 1900°, получены образцы,
содержавшие Al_2O_3 , $\text{Al}_4\text{O}_4\text{C}$ и C. Построена гипотетич.
фазовая диаграмма Al_2O_3 — $\text{Al}_4\text{O}_4\text{C}$ —C с CO-изобарами.

А. Гузей

x. 1975 n 15

Al₄O₄C

1973.
B9 - 1182-XV

152196s Measurements of free energy of formation of aluminum oxycarbide ($\text{Al}_4\text{O}_4\text{C}$). Ono, Katsutoshi; Moriyama, Joichiro (Fac. Eng., Kyoto Univ., Kyoto, Japan). *Nippon Kinzoku Gakkaishi* 1973, 37(4), 390-3 (Japan). Free energy of formation of the intermediate oxycarbide $\text{Al}_4\text{O}_4\text{C}$ of the system Al_2O_3 - Al_4C_3 was obtained by measuring CO-pressure of the 3-phase field, Al_2O_3 - $\text{Al}_4\text{O}_4\text{C}$ -C, which is given as $\Delta G^\circ = -684,032 - 7.5 T \log T + 199.64 T$ (cal.mole⁻¹) at 1400-1600°C. Prepn. of $\text{Al}_4\text{O}_4\text{C}$ in a pure state was not successful because of volatilization of Al and Al suboxides during the reaction of Al_2O_3 and C at high temps. The samples consisting of Al_2O_3 , $\text{Al}_4\text{O}_4\text{C}$, and C were then prepared by reacting either Al_2O_3 and C or Al, Al_2O_3 , and C at 1900°.

167

C.A. 1973.78 N24

Планарное $\text{Al}_2\text{O}_4\text{C}$ не редко лежит в виде
тектонитов из-за легкости разрушения
и склонности к превращению в Al_2O_3 + C

$$\Delta G_f(\text{Al}_2\text{O}_4\text{C}) = -684,032 - 7,5T \text{ erg} + 169,64T$$

(Ка-1/моль)

внутрь 1400 - 1600 °C.

50411.2465

Ch, Mt

90393

1943

Al₄O₄C (s.Gf)

IV 182

Ono Katsutoshi, Moriyama Joichiro.Measurements of free energy of formation
of aluminium oxycarbide. Al₄O₄C.

"Нихон киндзоку гаккайси, J. Jap. Inst.

Metals", 1973, 37, N 4, 390-393

~~0335 пик
(япон., рез. англ.)~~ M6

319

320

ВИНИТИ

Зак 8750

$\text{Al} + \text{CO}_2 \rightarrow$ Lommel 5747 1974
 $\text{AlO} + \text{CO}$ Fontijn A, Felder W

Kuerten
p-ysw J. Chem. Phys., 1977
67 N4, 1561-69

HFFR kinetics studies...

O-C-Al

1979

91: 163766x Singular points of p-T phase diagrams of heterogeneous systems. Lebedev, A. D. (Leningrad, USSR). *Fiz. Goreniva Vzryva* 1979, 15(4), 49-55 (Russ). A math. anal. is given for heterogeneous systems contg. k chem. elements, n compds. in condensed phases, and m compds. in the gas phase ($m \leq n$). The pressure-temp. (p-T) diagrams for O-C-Al systems are used to illustrate the methods of calen.

(P-T graphs)

CA 1979 21 N 20

Al₄O₄C
Al₂OC

1984

7 Б3079. Диаграммы стабильных и метастабильных равновесий в системе Al_2O_3 — Al_4C_3 . Diagrammes d'équilibre stable et métastable dans le système Al_2O_3 — Al_4C_3 . Laggere Y., Willer B., Lihmann J. M., Daige M. «Rev. int. hautes temp. et réfract.», 1984, 21, № 1, 3—18 (фр.; рез. англ.)

С помощью термич. анализа, металлографич. исследований, РФА и измерений твердости изучены стабильные и метастабильные фазовые равновесия в системе Al_2O_3 (I)— Al_4C_3 (II) при т-рах до $\sim 2000^\circ\text{C}$ и конц-иях II до 40 мол. %. Образцы в системе готовили по керамич. технологии в атмосфере гелия с выдержкой при заданной т-ре с послед. «быстрой» и «медленной» закалкой. Представлены диаграммы стабильных и метастабильных равновесий в системе I—II в указанных интервалах т-р и конц-ий. Показано, что скорость закалки влияет на природу образующихся фаз. Фаза $\text{Al}_4\text{O}_4\text{C}$ (III) стабильна при любых условиях и режимах

x. 1985, 19, N 7

закалки, и, наоборот, фаза Al_2OC (IV) нестабильна при обычной т-ре и разлагается при т-ре $1715 \pm 5^\circ\text{C}$ на III и II. Подтверждены лит. данные о существовании эвтектики I—III при 10 мол.% II с т. пл. 1840°C . III разлагается перитектически при 1890°C . При низких т-рах в области конц-ий >20 мол.% II существует двухфазная область II+III. Метастабильная фазовая диаграмма характеризуется наличием эвтектики при 13 мол.% II с т. пл. 1800°C и двухфазных областей III+I, III+II, III+жидкость, I+жидкость и II+жидкость.

Л. Г. Титов

$\text{Al}_2\text{O}_3 - \text{Al}_4\text{C}_3$

1984

102: 33513x Stable- and metastable-equilibrium phase diagrams of the aluminum oxide-aluminum carbide (Al_4C_3) system. Larrere, Y.; Willer, B.; Lihrmann, J. M.; Daire, M. (Dep. Sci. Mater., Ec. Natl. Super. Chim. Strasbourg, 67008 Strasbourg, Fr.). *Rev. Int. Hautes Temp. Refract.* 1984, 21(1), 3-18 (Fr). The phase-equil. diagram describing the binary system $\text{Al}_2\text{O}_3-\text{Al}_4\text{C}_3$ and including a eutectic $\text{Al}_2\text{O}_3-\text{Al}_4\text{O}_4\text{C}$ and an incongruently melting compd., Al_2OC , which is stable at room temp., first established in 1956, is reviewed and modified to take into account the existence of a crit. temp. at which Al_2OC decomp. into $\text{Al}_4\text{O}_4\text{C}$ and Al_4C_3 . A metastable phase, which lowers the $\text{Al}_2\text{O}_3-\text{Al}_2\text{OC}$ eutectic m.p. and which contains no more $\text{Al}_4\text{O}_4\text{C}$ has to be considered. Solidification in either system depends both on the heating processes of the raw materials mixts. and the rate of cooling. Crystallog. and microg. phase transformations following transition from metastable to stable diagrams were studied.

Phys. review.

C.A. 1985, 102, NY.

Al_2O_3

$\text{Al}_2\text{O}_3 \cdot \text{C}$

ΔG_f ,

S ,

G_p

1986

Арокчук А. В.,
Карпов Ю. К.

Химия и минерал. свойства
иб. мин. и колич. Бел. хим.
Тез. докт. Фрунзе, 1986,
188.

(сост. $\text{Al}_2\text{O}_3 \cdot \text{Al}_2\text{O}_5$; 1)

Al₂OC On. 28536) 1986

Al₄O₇C Snoreryk A.B., Kamkov

O. ch. UGP;

УЗБ. БУЗОБ. УЗБ. Алеман-

(р. 3, 16) нургуз, 1986, № 50-53.

$\text{Al}_4\text{O}_4\text{C}$

Om. 25536

1986

Al_2OC

106: 126901v Thermodynamic properties of aluminum spinel and aluminum oxycarbides. Aponchuk, A. V.; Katkov, O. M.; Karpov, I. K. (Irk. Politekh. Inst. Geokhim., Irkutsk, USSR). *Izv. Vyssh. Uchebn. Zaved., Tsvetn. Metall.* 1986, (6), 50-3 (Russ). A possibility was studied of calcg. the chem. potentials of systems and phases in equil. based on relation used in authors' computer program SELECTOR (I. K. Karpov, 1981) and for the dependence of the free energy on the compn. of the system (D. S. Korzhinskic, 1973). Std. thermodn. values are calcd. for $\text{Al}_4\text{O}_4\text{C}$, Al_2OC and Al_2O_3 .

неподтвержд.
99-III

(1) 18

C. A. 1987, 106, N 16.

Al(CO)₂

1986

105: 180682s The infrared spectrum of dicarbonylaluminum(6), Al(CO)₂. Chenier, J. H. B.; Hampson, C. A.; Howard, J. A.; Mile, B. (Div. Chem., Natl. Res. Coun., Canada, Ottawa, Can. K1A OR9). *J. Chem. Soc., Chem. Commun.*, 1986, (9), 730-2 (Eng). The IR spectrum of Al(CO)₂, obtained by codeposition of CO and Al atoms in adamantane at 77 K, was recorded using a Fourier transform spectrometer. The spectrum showed a sym. CO stretching mode at 1985 cm⁻¹ and an antisym. CO stretching mode at 1903.8 cm⁻¹. IR spectral evidence exists for the formation of Al₂CO and Al₂(CO)₄ in this system.

(*alk creemps*)
Di

C.A.1986; 105; N20

Al_4C_3
 Al-C-O

[Он. 42-113]

1986

11 Б3073. Термодинамический анализ системы Al_2O_3 —С. Куликов И. С. «Изв. АН СССР. Мет.», 1986, № 6, 55—60

Проведен термодинамич. анализ системы Al_2O_3 (I)—С. Показано, что при т-рах до 2660 К возможно образование карбида Al_4C_3 (II), суммарное давление газовой фазы при 2660 К достигает ~20 ат. В условиях равновесия фаз I—II при т-рах до 2175 К и выше возможно появление новой фазы — жидк. алюминия. Суммарное давл. газовой фазы при 2175 К состава (%): CO — 40, Al_2O — 50 и Al — 10 составляет 0,26 ат. Для системы I—II—С т. кип. равна 2250 К, а для системы I—II—Al 2307 К. Основными компонентами газовой фазы над рассмотренными системами являются CO, Al_2O и Al. Алюминоуглеродные газы образуются лишь в примесных количествах.

Автореферат

Х. 1987, 19, N 11.

Al-C

$\text{Al}_2\text{O}_3 + \text{C}$

[Om. 42 113)

1986

106: 56601w Thermodynamic analysis of the aluminum oxide--carbon system. Kulikov, I. S. (Moscow, USSR). *Izv. Akad. Nauk SSSR, Met.* 1986, (6), 55-60 (Russ). The Al_4C_3 can form ≤ 2660 K. The gas phase during carbide formation contains 78-90% CO. Concn. of Al-C compds. in the gas phase is ~0.1% even at the highest temp. of Al_4C_3 stability. The gas phase pressure at this temp. (2250 K) is 1 atm. There is no new Al phase in the condensed state < 2175 K (at the min. overall gas pressure). This azeotropy vanishes ≥ 2175 K permitting sepn. of liq. Al at total pressure 0.26 atm. An invariant point corresponding to the coexistence of C., Al(liq.), Al_2O_3 (liq.), and Al_4C_3 occurs at 2660 K.

Mepnoguham.
atany
aluminite

c. A. 1987, 106, w 8

Al(CO)_n

1988

Экспериментальное и теоретическое изучение карбонилов алюминия /Чертихин Г.В., Рожанский И.Л., Серебренников Л.В., Шевельков В.Ф.

// Журн. физ. химии. – 1988. – Т. 62, вып. 8. – С. 2256–2259.

Библиогр.: 8 назв.

— — 1. Алюминий, карбонилы – Исследование.

№ 118656

УДК 541.117

18 № 7400

ЕКЛ 17.8

НПО ВКП 15.11.88

$\text{Al}(\text{CO})_2$ Lam. 36788 1988

$\text{Al}(\text{CO}_2)_2$ McQuaid M., Woodward
J.R., et al,

J. Phys. Chem. 1988, 92,
252.

Formation and
Metal-Bas ● Oxidation
ed CO and CO_2

Complexes: Characterization of
 $\text{Al}(\text{CO})_x$ and $\text{Al}(\text{Cl}_2)_x$ and
Their Oxidation.

$\text{Al}_4\text{O}_4\text{C}$

1991

} 23 Б2063. Кристаллооптические константы $\text{Al}_4\text{O}_4\text{C}$ /
Чистяков А. А., Гавриш А. М., Устиченко В. А. //
Неорган. матер.— 1991.— 27, № 8.— С. 1657—1659.—
Рус.

Плавлением смеси глинозема и термоантрацита по-
лучен материал, состоящий в основном из $\alpha\text{-Al}_2\text{O}_3$ и
 $\text{Al}_4\text{O}_4\text{C}$, идентифицированных рентгенографич. исследо-
ванием. Определены кристаллооптич. константы $\text{Al}_4\text{O}_4\text{C}$.

X. 1991, N 23

1995

17 Б343. Термодинамическая оценка системы
 Al_2O_3 — Al_4C_3 и устойчивость оксикарбидов алюминия.
Thermodynamic evaluation of the Al_2O_3 — Al_4C_3 system and
stability of Al-oxycarbides / Qiu Caian, Metselaar Rudi //
Z. Metallk. — 1995. — 86, № 3. — С. 198—205. —
Англ.

С использованием имеющихся эксперим. данных для систем Al — C и Al — O на основе термодинамич. моделей оценены термодинамич. св-ва псевдобинарной системы Al_2O_3 — Al_4C_3 . Модель ионной жидкости и энергетич. модель соединений применены к жидк. шлаковой фазе и к Al_2OC и фазам тв. р-ров, образуемых Al_2OC , AlN и SiC соотв. Рассчитана фазовая диаграмма системы Al_2O_3 — Al_4C_3 , к-рая удовлетворительно согласуется с имеющимися эксперим. данными. Ряд потенциальных диаграмм рассчитан для системы Al — C — O при т-рах между 1000 и 2000 °С, к-рые затем были использованы для исследования влияния парц. давл. Al , CO и CO_2 на устойчивость Al_4C_3 , Al_2O_3 , $\text{Al}_4\text{O}_4\text{C}$ и Al_2OC при различных т-рах. Рассчитаны также станд. энталпии, энтропии и энергии Гиббса образования этих соединений при 298,15К.

В. Ф. Байбуз.

$\text{Al}_4\text{O}_5\text{C}$ существует в интервале до 1870°C , плавится
зиконгруэнтно с обр. жидкой фазы и Al_2OC

Al_2OC существует в интервале $1410^\circ\text{C} -$
 $- 1990^\circ\text{C}$, при 1990°C плавится зиконгруэнтно
с обр. жидкой фазой и $K_1 = \text{Al}_4\text{C}_3$



$\text{Al}_2\text{O}_3 - \text{Al}_4\text{C}_3$ (Om. 40592) 1995

CLEMENSIA

(matuinh.)

Al_4C_3 , Al_2O_3

$\text{Al}_4\text{O}_4\text{C}$, Al_2OC

new parameter

mini-PAX

123: 67135z Thermodynamic evaluation of the Al_2O_3 - Al_4C_3 system and stability of Al-oxycarbides. Qiu, Caian; Metselaar, Rudi (Lab. Solid State Chem. Mater. Sci., Eindhoven Univ. Technol., 5600 MB Eindhoven, Neth.). Z. Metallkd. 1995, 86(3), 198-205 (Eng). Thermodn. properties of the pseudo-binary Al_2O_3 - Al_4C_3 system were evaluated based on thermodn. models. An ionic-liq. model was applied to the liq. slag phase and a compd.-energy model to Al_2OC . Each model was with 2 sublattices and the latter one can be extended to describe the solid soln. phases formed among Al_2OC , AlN , and SiC . A description of the system was obtained and then used to calc. the Al_2O_3 - Al_4C_3 phase diagram which was in agreement with the expt. A series of potential diagrams was calcd. for the Al-C-O system, which illustrated the effect of partial pressures of Al, CO , and CO_2 gas on the stability of Al_4C_3 , Al_2O_3 , $\text{Al}_4\text{O}_4\text{C}$, and Al_2OC at different temps.

Met na kleur!

C.A. 1995, 123, N6

2002

$\text{Al}_4\text{O}_4\text{C}$

образова

нил в

алюминиев

(C-Al-TiO₂)

Кирилов В.Н. и др.

правильное расположение & алюминия
C-Al-TiO₂.

Термическая стабильность
алюминия в кремнеземе. C-Нимир
Фурн., 1-5 циклы 2000°С, нагр. 340.

(Термистор Y02K, 117°C)

С.П. 181 - 183 (27.ii.)

Al₂O₃] Protocol No. 42/112 | 2002
Protocol No. 42/112 | 2002, СИГНАЛЫ
СИНТЕЗ МАНООКСИКАРБИДА АЛЮМИНИЯ
МОХ, 2002, №2, 181 - 183

У



Al₄CO₄

2001

Al₄CO₄

F: Al₄O₂C, CaC₂, Al-Mn-Fe-O-C, Al-Mn-Ca-O-C

P: 1

Al₄CO₄

03.06-19Б3.92. Термодинамический анализ систем Al-Mn-Fe-O-C и Al-Mn-Ca-Оприменением ЭВМ / Багдavadзе Д. И., Гвелесиани Г. Г., Бараташвили И. Б., Цикаридзе З. ., Джлантиашвили М. В. (380060, Республика Грузия, Тбилиси, Д. Гамрекели, 19) // Изв. А Грузии. Сер. хим. - 2001. - 27, N 3-4. - С. 313-318. - Рус.; рез. груз.%Англ.

Термодинамические расчеты систем проведены в интервале 1800-2600 К с шагом К в атмосфере Ar по программе ACPRA.OWN. Выявлены температурные области выделения металлических компонентов в восстановительной среде, установлено присутствие оксикарбида Al[4]O[4]C, CaC₂ и свободного углерода, а также температурные интервалы существования шлаков. При T>2250 К наблюдалось уменьшение извлечения металлов вследствие частичного испарения расплавов. Библ. 1.

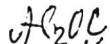
Onlajn-krk

Рябков Ю.Н. и др.

2002

Установление коалиционной персистентности
коруда и карбидных фаз
с хим. амортизированной поверхностью
ЖКОХ, 2002, 72, №1, 12 - 16

2006



Кимас В.Л., Бергман Г.А., Кармико О.К.

ЖФХ, 2006, 80, N11, с. 2040 - 2043

Термодинамические свойства оксикарбидов
алюминия Al_2OC

$$\varphi_0(298.15\text{K}) = 45,3 \text{ кДж/(К моль)}$$

$$\Delta H_f(298.15\text{K}) = -625.6 \text{ кДж/моль}$$



86.

$$-\Delta H_{\text{fus}}^{\text{995}} \quad H_{995} - H_0 \quad g_{995} \quad q_i = q + \beta T - \alpha T^{-2} \quad T_K \quad \Delta H_{\text{fus}}$$

ΔC_p^{DC}	625.6	8.8	45.3	100.4	9.9	29.7	9.960	60
ΔC_p^{DC}	2320	18.8	100	215.2	20.2	64.0	2140.	150

218 ↑ [35] Окислан М.И., Ишмад В.Л., Бердюгин Г.А. и др.

Тр. МечМПО, Радио, под ред. Н.А. Соболева ВолгГУ, Т.1

н. РАДИО-ПРЕСС, 2002, с. 22

Al OC₂

2002

F: Al₂O₃-C, AlC, Al₂O

P: 1

04.02-19Б3.41. Влияние газовой фазы на последовательность фазовых превращений в системе Al₂O₃-C при высоких температурах / Чежина Н. В., Ситников П. Истомин П. В., Рябков Ю. И. // Вестн. С.-Петербург. ун-та. Сер. 4. - 2002 2. - С. 113-115, 135. - Рус.; рез. Англ.

Расчет фазовых равновесий в трехкомпонентной системе Al-O-C в интервале температур 1000-2300 К показал, что в зависимости от концентрации основных компонентов газовой фазы Al₂O, CO, Al наряду с Al₂O₃ и углеродом наиболее устойчивыми являются фазы карбида алюминия и монооксикабида алюминия. Установлено, что экспериментальная последовательность фазовых превращений значительной степени зависит от давления газовых компонентов. Библ. 7.

Al OC₂ (Терм. сл-бы)